

بررسی تنوع ژنتیکی در بین ژنوتیپهای ایرانی گیاه پنیرک (*Malva neglecta*) با استفاده از کدونهای آغاز هدف واقع شده (SCoT)

عبدالمهدی نوریان*

ایران، تهران، دانشگاه پیام نور، دانشکده علوم پایه، گروه زیست‌شناسی

تاریخ دریافت: ۹۶/۱۲/۵ تاریخ پذیرش: ۹۷/۲/۲۵

چکیده

پنیرک از قدیمی‌ترین گیاهان دارویی می‌باشد که در طب کاربرد فراوان دارد. استخراج DNA به روش CTAB برای ۱۹ ژنوتیپ پنیرک از مناطق جغرافیایی مختلف ایران انجام گرفت و با استفاده از ۱۵ نشانگر مولکولی SCoT تنوع ژنتیکی مورد بررسی قرار گرفت. نشانگر SCoT در بین ژنوتیپها چندشکلی مطابق نشان داد و اکثر آغازگرها برای بررسیهای این گونه مناسب بودند. آغازگرها SCoT در مجموع توانستند ۸۳ باند تولید کنند، که ۷۶ باند چند شکل مشاهده شد. میانگین تعداد باند مناسب بودند. آغازگر برای ۱۹ ژنوتیپ برابر ۴/۳۶ SC11 و SC36 و SC5 بیشترین تعداد باند (۸) و تولید شده توسط هر آغازگر برای ۱۹ ژنوتیپ با تولید ۴/۳۶ SC11 و SC36 و SC5 بیشترین تعداد باند (۸) و آغازگرها SC26 و SC15 کمترین تعداد باند (۳) را نشان دادند. نتایج نشان داد که بیشترین تشابه را ژنوتیپهای G1۸ و G1۹ آغازگرها و SC26 و SC15 کمترین تعداد باند داشتند. گروه‌بندی حاصل از تجزیه خوش‌های نشان داد که ژنوتیپها در سه گروه و کمترین تشابه را ژنوتیپ G1۵ با ژنوتیپ G3 داشتند. گروه‌بندی حاصل از تجزیه خوش‌های نشان داد که ژنوتیپها در سه گروه قرار گرفته و تنوع ژنتیکی با تنوع جغرافیایی تطابق نداشت. نتایج حاصل از گروه‌بندی تجزیه خوش‌های با استفاده از تجزیه واریانس مولکولی (AMOVA) تأیید گردید.

واژه‌های کلیدی: گیاه دارویی، تجزیه خوش‌های، تجزیه به مختصات اصلی، تنوع ژنتیکی

* نویسنده مسئول، تلفن: ۰۹۱۸۴۶۳۰۹۰۲، پست الکترونیکی: Mehdi_Noorian@yahoo.com

مقدمه

مختلف پنیرک در نقاط دیگر دنیا توسط برخی محققین گزارش شده است (۱۹). نتایج مطالعات انجام شده بر روی خواص ضد میکروبی پنیرک حاکی از آن است که این گیاه دارای فعالیت ضد باکتریایی، ضد قارچی و ضد ویروسی علیه بسیاری از پاتوژنهای انسان است (۲۲). تنوع گونه‌های گیاهی در بک محیط موجب پایداری و افزایش قابلیت تولید آن اکوسیستم می‌گردد، اما تنوع داخل گونه‌ها می‌تواند نقش مهمی را در میزان تولید یک اکوسیستم ایفاء کند (۱۵). آکاهی از سطح تنوع ژنتیکی و برآورد دقیق آن در ژرم‌پلاسمهای گیاهی و تعیین روابط ژنتیکی بین مواد اصلاحی، پایه و اساس بسیاری از برنامه‌های اصلاحی است. اهمیت تنوع ژنتیکی در گیاهان از دو دیدگاه مورد توجه-

طبعی سالیان متمادی داروهای طبیعی خصوصاً گیاهان دارویی، در برخی موارد تنها راه درمان محسوب می‌شد و در عین حال مواد اولیه در آنها در صنعت داروسازی مورد استفاده قرار می‌گرفت. توجه به گیاهان دارویی که بخش عمده‌ای از طب سنتی ایران را تشکیل می‌دهد و ارائه اطلاعات درست و علمی درباره پرورش، نگهداری و استفاده از آنها بر پایه یافته‌های جدید روز به روز اهمیت ویژه‌ای می‌یابد (۲۱). پنیرک (*Malva*) گیاهی علفی یک ساله، دوساله یا پایا با خواص شناخته شده دارویی است. گونه‌های مختلف پنیرک همانند *M. neglecta* در کشورهای مختلف دنیا کشت می‌گردد یا به طور خودرو رشد می‌کند (۴). خواص آنتی اکسیدانی گونه‌های

کاکوتی (*Ziziphora tenuior*) استفاده شده است که در مقایسه با نشانگرهای RAPD و ISSR تنوع بیشتری را نشان داده است (۲۴ و ۱۶). از آنجایی که نشانگر مولکولی SCoT تنوع را براساس مناطق ژنی نشان می‌دهد (تکثیر نواحی با کدنون آغاز)، استفاده از نتایج این تحقیق برای تلاقي نمونه‌های با فواصل زیاد ژنتیکی در جهت هتروزیس به منظور اصلاح و افزایش ترکیبات می‌تواند مفید باشد، در نهایت می‌توان از این اطلاعات نیز جهت حفاظت در محل رویشگاه نمونه‌ها برای حفظ ذخایر ژنتیکی این گونه و ایجاد بانک ژرم پلاسم استفاده نمود.

مواد و روشها

در تحقیق انجام شده بذرهای ۱۹ ژنوتیپ از گیاه دارویی پنیرک به منظور ارزیابی تنوع ژنتیکی با استفاده از نشانگر مولکولی SCoT از بانک ژن مؤسسه تحقیقات جنگلها و مرتع کشور تهیه گردید. مشخصات مواد ژنتیکی مورد مطالعه، با ذکر کد ژنوتیپ و محل دریافت یا جمع‌آوری در جدول ۱ نشان داده شده است.

استخراج DNA به روش CTAB تغییر یافته (۹) برای هر ژنوتیپ انجام گرفت. برای بررسی کیفیت و کمیت DNA استخراج شده از ژل آگارز $0/8$ درصد و روش اسپکتروفوتومتری استفاده شد. واکنش زنجیره‌ای پلیمراز طبق اطلاعات جدول ۲ انجام شد. چرخه حرارتی شامل یک مرحله و اسرشت سازی اولیه در دمای ۹۵ درجه سانتی‌گراد، به مدت ۵ دقیقه و ۳۵ چرخه حرارتی بود که در هر چرخه، زمان و دمای و اسرشت‌سازی به ترتیب ۳۰ ثانیه و ۹۵ درجه سانتی‌گراد، زمان اتصال آغازگر ۳۰ ثانیه و دمای آن برای هر آغازگر متفاوت بود.

همچنین زمان و دمای توسعه رشته نیز به ترتیب ۶۰ ثانیه و ۷۲ درجه سانتی‌گراد بود. توسعه نهایی به مدت ۵ دقیقه در دمای ۷۲ درجه سانتی‌گراد انجام شد.

است: نخست تنوع ژنتیکی شرط لازم برای رسیدن به محصول بیشتر و پایداری عملکرد است. از سوی دیگر تنوع ژنتیکی، منابع ژنتیکی مفید برای برنامه‌های اصلاحی را شناسایی کرده و باعث حفظ آنها می‌شود (۷). انواع مختلفی از نشانگرها در عرصه علوم ژنتیک، رده‌بندی و بهترادی به کار رفته‌اند که اصولاً کاربرد آنها تفاوت چندانی با یکدیگر ندارد ولی هر کدام از این نشانگرها دارای مزایا و معایب خاص خود می‌باشند، مطالعات در سطح جمعیتها نشان می‌دهد که نشانگر DNA کارآیی بالایی در تشخیص تنوع دارد (۲۳). نشانگرهای مولکولی ابزارهای بسیار مفید و قوی در ارزیابی روابط خویشاوندی ژنتیکی، انتخاب گیاهان برتر و بررسی شباهت یا تفاوت بین نمونه‌های مختلف می‌باشد. نشانگرهای مولکولی وابسته به DNA تحت تأثیر شرایط محیط قرار نمی‌گیرند و تعداد زیادی از این نشانگرها را می‌توان به راحتی در کل ژنوم جستجو نمود (۱۳). نشانگر مولکولی SCoT یا در ترجمه فارسی، کدونهای آغاز هدف واقع شده، روشی است که در آن پرایمرها بر اساس توالیهای آغاز (ATG) طراحی شده و نواحی بین کدونهای آغاز طی واکنش زنجیره‌ای پلیمراز تکثیر، و تفاوتها آشکار می‌شود. پرایمرهای SCoT معمولاً ۲۴-۱۸ نوکلئوتیدی هستند و محتوای C و G آنها ۵۰ تا ۷۲ درصد است (۱۲). مبنای عملکرد این نشانگر غالباً است. دو پرایمر تک رشته‌ای در واکنش زنجیره‌ای پلیمراز به رشته‌های مخالف DNA الگو، در جهت عکس هم متصل می‌شوند. چنانچه جهش‌های حذف یا اضافه در محل اتصال پرایمر رخ دهد، عدم اتصال پرایمر و عدم سنتز قطعه DNA به وجود خواهد آمد (۶). طول پرایمرها در تکرارپذیری این نشانگر اثر مستقیم دارد. هو و ویک (۱۱) با مقایسه پرایمرهای ۱۲ و ۱۸ نوکلئوتیدی و بررسی قابلیت تکرارپذیری آنها به این نتیجه رسیدند که پرایمرهای ۱۸ نوکلئوتیدی قابلیت تکرارپذیری بالایی دارند. از نشانگر مولکولی SCoT در بررسی تنوع ژنتیکی گیاهان دارویی مانند جاتروفنا (*Jatropha curcas*) و

جدول ۱- مشخصات ژنتیپهای مورد استفاده در این تحقیق

کد بانک ژن	شهرستان	استان	ژنتیپ	کد بانک ژن	شهرستان	استان	ژنتیپ
22521	بندر عباس	هرمزگان	G11	10534	یزد	یزد	G1
22900	قشم	هرمزگان	G12	12926	گنبد	گستان	G2
22903	میبان	هرمزگان	G13	14342	نهاوند	همدان	G3
26408	کرمان	کرمان	G14	15504	شاهادیه	یزد	G4
30789	دامغان	سمنان	G15	15843	تفت	یزد	G5
33487	طبس	یزد	G16	15922	صدوق	یزد	G6
34327	دهران	ایلام	G17	20011	هریس	آذربایجان شرقی	G7
34338	دهران	ایلام	G18	21113	صدوق	یزد	G8
34808	بندر عباس	هرمزگان	G19	21122	بافق	یزد	G9
				21601	سمنان	سمنان	G10

در پایان نیز با استفاده از نرم افزارهای DARwin 6، Ntsys و GenAlEx 6.2 ماتریس تشابه، تجزیه خوش‌ای، تجزیه به مختصات اصلی و تجزیه واریانس مولکولی مورد ارزیابی قرار گرفت.

نتایج

تنوع ژنتیکی ژنتیپهای پنیرک مورد مطالعه با استفاده از آغازگر SCoT مورد بررسی قرار گرفت. شکل ۱ الگوی آغازگر با استفاده از آغازگر SC28 را برای ۱۹ ژنتیپ نشان می‌دهد. آغازگرهای SCoT در مجموع توانستند ۸۳ مکان را تکثیر کنند که از این تعداد ۷ باند یک شکل مشاهده شد و سایر باندها چند شکل بودند، که آغازگرهای SC5، SC11، SC36 و SC15 بیشترین تعداد باند (۸) و آغازگرهای SC26 و SC15 کمترین تعداد باند (۳) را نشان دادند. میانگین درصد چند شکلی برابر ۹۲/۷۸ درصد بود که کمترین میزان درصد چند شکلی را آغازگرهای SC40 و SC13، SC11 و SC36 (۶۶/۶۷ درصد) و SC44 (PIC) داشتند و درصد چند شکلی برای سایر آغازگرهای ۱۰۰ درصد می‌باشد. همچنین متوسط تعداد باندهای تولید شده توسط هر آغازگر برای ۱۹ ژنتیپ برابر ۴/۳۶ به دست آمد. بیشترین میزان محتوای اطلاعات چندشکلی (PIC) مربوط به آغازگرهای SC40 و SC11 بود

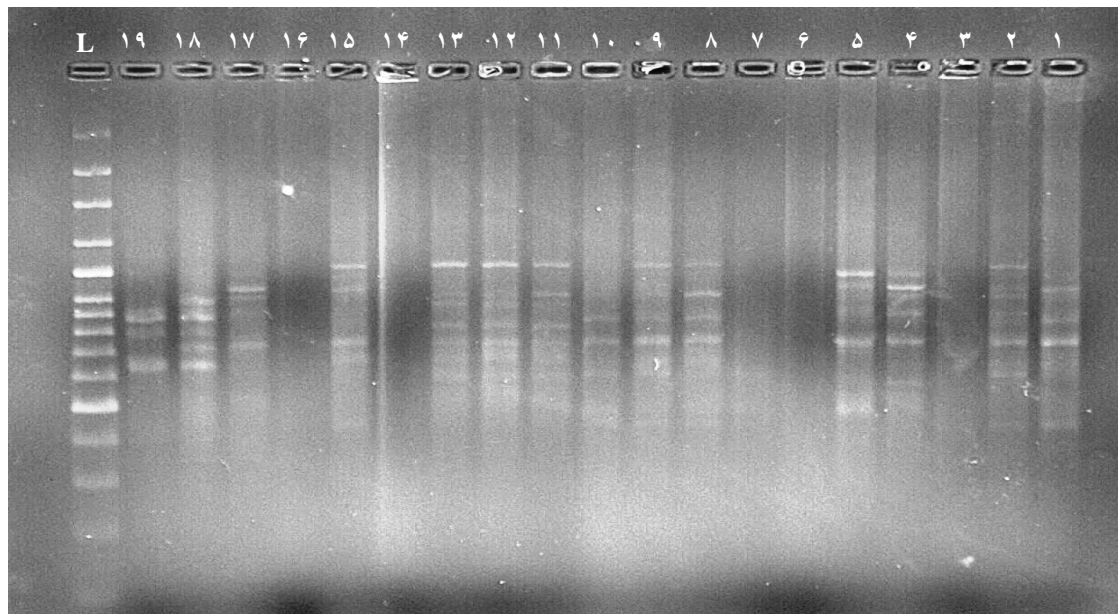
جدول ۲- اجزای مخلوط واکنش SCoT بهینه سازی شده

اجزا یک نمونه	جهت تهیه ۲۰ میکرولیتر
آب دویار تقطیر	۱۲/۳ میکرولیتر
بافر PCR (x10)	۲ میکرولیتر
MgCl ₂ (۵۰ میلی مولار)	۱/۵ میکرولیتر
مخلوط نوکلئوتیدی (۱۰ میلی مولار)	۰/۴ میکرولیتر
آغازگر (۱۰ میکرومولار)	۱/۵ میکرولیتر هر یک
Taq پلیمراز (۵ واحد در میکرولیتر)	۰/۳ میکرولیتر
DNA (10 ng)	۲ میکرولیتر
جمع	۲۰ میکرولیتر

در این آزمایش از ژل آگاراز ۲ درصد با بافر واکنش TBE یک درصد استفاده شد. به منظور بارگذاری نمونه در ژل، ابتدا میزان ۵ میکرولیتر بافر نمونه‌گذاری به DNA تکثیر شده اضافه و سپس میزان ۱۰ میکرولیتر از هر نمونه به درون چاهکهای ایجاد شده در ژل آگاراز بارگذاری و با ولتاژ ۱۰۰ و میزان ۲/۵ ساعت حرکت صورت گرفت. پس از حرکت ژل، جهت رنگ‌آمیزی آن را در محلول اتیدیوم برماید (یک میکروگرم در میکرولیتر) به مدت ۳۰-۴۵ دقیقه قرار داده و از دستگاه Gel Document جهت مشاهده نوارهای DNA استفاده گردید. محتوى اطلاعات چند شکلی (PIC) از طریق فرمول $PIC = 1 - \sum_{i=1}^n PI^2$ محاسبه شد، در اینجا p برابر با مجموع نوارهای هر لوکوس برای کلیه ژنتیپها است (۱۰).

توانایی خوبی در جداسازی ژنتیپها نداشتند نتایج به دست آمده برای آغازگرهای استفاده شده در جدول ۳ نشان داده شده است.

که این آغازگرها بهتر از سایر آغازگرها توانستند فاصله ژنتیکی ژنتیپها را مشخص کنند. آغازگر SC26 و SC15 با کمترین میزان محتوای اطلاعات چندشکلی (PIC) با



شکل ۱ - الگوی باندی ۱۹ ژنتیپ پنیرک با استفاده از آغازگر SC28 و ژل آگارز ۲ درصد با رنگ آمیزی اتیدیوم برومامید

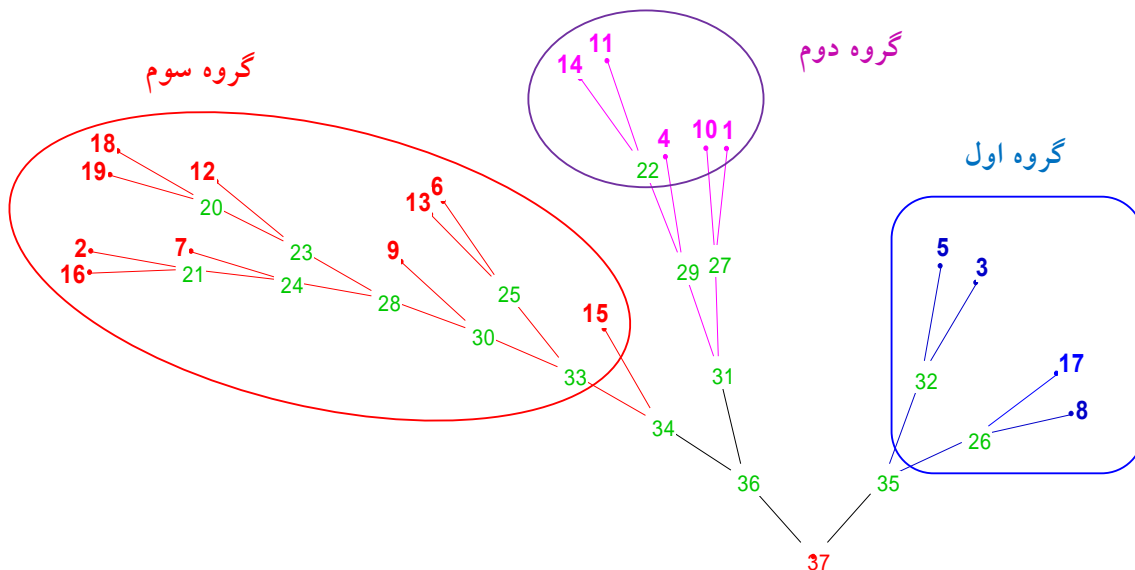
جدول ۳- درصد چند شکلی، تعداد کل باند و محتوای اطلاعات چند شکلی در آغازگرهای مورد استفاده

کد آغازگر	نواحی آغازگر	دما	G و C	درصد درصد مکانهای تکثیر شده	تعداد مکانهای تکثیر شده	تعداد مکانهای چند شکل	درصد چند شکلی	PIC	منبع
SC36	5'-GCAACAATGGCTACCAC-3'	52	%52/94	8	6	75	0/31		
SC35	5'-CATGGCTACCACCGGCC-3'	58	%70/58	5	5	100	0/42		
SC40	5'-CAATGGCTACCACTACAG-3'	54	%50	6	4	66/67	0/45		
SC59	5'-ACAATGGCTACCACCATC-3'	54	%50	7	7	100	0/36		
SC44	5'-CAATGGCTACCATTAGCC-3'	54	%50	4	4	100	0/48		
SC63	5'-ACCATGGCTACCACGGG-3'	56	%64/70	6	6	100	0/34		
SC28	5'-CCATGGCTACCACCGCC-3'	58	%70/58	6	6	100	0/39		
SC26	5'-CACCATGGCTACCACCAT-3'	56	%64/70	3	3	100	0/27		
SC20	5'-ACCATGGCTACCACCGC-3'	54	%64/70	5	5	100	0/35		
SC15	5'-CCATGGCTACCACCGGC-3'	58	%70/58	3	3	100	0/22		
SC11	5'-AAGCAATGGCTACCACCA-3'	54	%50	8	6	75/70	0/47		
SC5	5'-AAGCAATGGCTACCACCA-3'	54	%50	8	8	100	0/33		
SC13	5'-ACGACATGGCGACCATC-3'	58	%70/58	4	3	75/70	0/36		
SC21	5'-AACCATGGCTACCACCG-3'	54	%64/70	5	5	100	0/30		
SC10	5'-CAACAATGGCTACCAGC-3'	52	%52/94	5	5	100	0/33		
میانگین				5/53	5/57	92/78	0/36		

Collected and MacKillop (2009) (2)

تشابه را ژنوتیپهای G۱۸ و G۱۹ از گروه ۳ و کمترین تشابه را ژنوتیپ G۱۵ از گروه ۲ و ژنوتیپ G۳ از گروه ۳ داشتند (جدول ۵).

ماتریس تشابه: تشابه ژنتیکی ژنوتیپهای مورد بررسی با استفاده از ضریب تشابه جاکارد از ۰/۶۸۵ تا ۰/۹۷۰ متغیر بود، میانگین تشابه بین ژنوتیپها برابر ۰/۸۲۰ بود. بیشترین



شکل ۲- دندروگرام حاصل از داده‌های نشانگر SCoT برای ژنوتیپهای مورد مطالعه

صحیح انجام گرفته است. نتایج به دست آمده نشان داد که در میان گروهها تنوع بیشتر از بین گروهها می‌باشد. بر این اساس تنوع در درون گروهها برابر ۸۲ درصد و در بین گروهها تنوع برابر ۱۸ درصد مشاهده گردید.

تجزیه واریانس مولکولی (AMOVA): تجزیه واریانس مولکولی بر اساس گروه‌بندی تجزیه خوشباهی انجام شد (جدول ۴)، که ژنوتیپها در ۳ گروه قرار گرفتند. بر اساس آماره PhiPT در بین گروهها در سطح ۵ درصد اختلاف معنی‌دار وجود داشت به عبارت دیگر گروه‌بندی به صورت

جدول ۴- تجزیه واریانس مولکولی بر اساس گروه‌بندی ژنوتیپها با استفاده از نشانگر SCoT

منابع تغییرات	درجه آزادی	مجموع مربعات	میانگین مربعات	واریانس برآورده شده واریانس	درصد از واریانس	PhiPT
بین گروه	۲	۲۲/۰۲۱	۱۱/۰۶۱	۱/۱۰۴	%۱۸	۰/۱۸۵*
درون گروه	۱۶	۱۷/۹۰۰	۱/۰۶۹	۴/۸۶۹	%۸۲	
کل	۱۸	۱۰۰/۴۲۱	۵/۹۷۳		%۱۰۰	

* اختلاف در سطح ۵٪ معنی‌دار

ژنوتیپهای این گروه، ژنوتیپهای G۸ و G۱۷ دارای بیشترین تشابه بودند. در گروه دوم ژنوتیپهای G۱، G۴، G۱۰، G۱۱ و G۱۴ قرار گرفتند. میانگین تشابه این گروه ۰/۸۶۵، که ژنوتیپهای G۱۱ و G۱۴ بیشترین تشابه را با یکدیگر داشتند. گروه سوم شامل ژنوتیپهای G۵، G۲، G۷، G۹، G۱۲، G۱۳ و G۱۹ می‌باشد که در بین

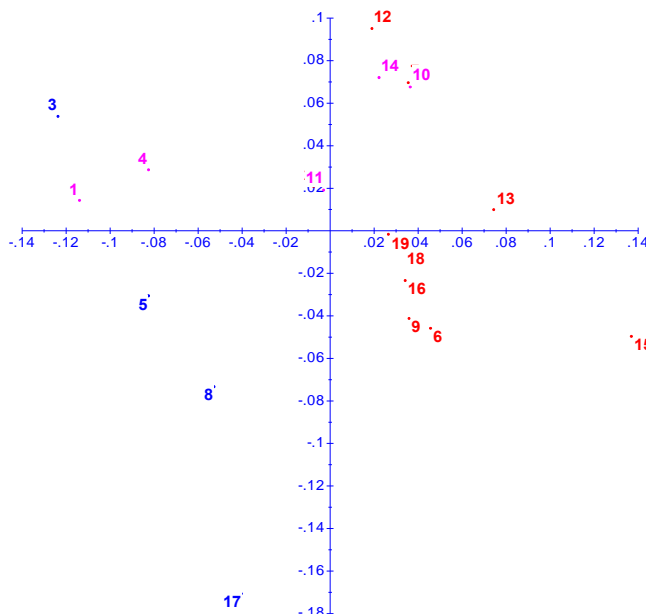
تجزیه خوشباهی: نمودار خوشباهی به روش UPGMA بر اساس ضریب تشابه جاکارد در شکل ۲ آمده است. که بر اساس آن ژنوتیپها در ۳ گروه قرار گرفتند. گروه اول شامل ژنوتیپهای G۳، G۵، G۸ و G۱۷ بود. میانگین تشابه ژنوتیپهای این گروه برابر ۰/۸۰۱ می‌باشد که در بین

بیشترین تشابه می‌باشد. است. میانگین تشابه در G1۶، G1۵، G1۴، G1۳ و G1۹ است. این گروه ۰/۸۷۵ دارد که ژنتیپهای G1۹ و G1۸

جدول ۵- ماتریس تشابه ژنتیپها برای پرایمرهای SCoT استفاده شده بر اساس ضریب جاکار

ژنوتیپ	G1	G2	G3	G4	G5	G6	G7	G8	G9	G10	G11	G12	G13	G14	G15	G16	G17	G18	G19
G1	1																		
G2	0/۸۷۲	1																	
G3	0/۸۵۱	0/۸۴۶	1																
G4	0/۸۶۳	0/۹۱۶	0/۸۵۷	1															
G5	0/۸۱۶	0/۸۵۱	0/۸۲۶	0/۸۵۷	1														
G6	0/۷۸۵	0/۸۸۵	0/۷۵۴	0/۸۵۱	0/۷۷۹	1													
G7	0/۷۹۲	0/۹۳۱	0/۸۴۰	0/۸۵۱	0/۸۰۷	0/۸۴۳	1												
G8	0/۸۶۳	0/۸۳۳	0/۷۶۱	0/۸۱۸	0/۸۵۷	0/۸۵۱	0/۸۰۸	1											
G9	0/۸۳۶	0/۹۰۰	0/۷۶۹	0/۸۵۱	0/۷۳۶	0/۸۵۷	0/۸۰۶	0/۸۰۸	1										
G10	0/۸۸۸	0/۸۹۷	0/۷۴۴	0/۸۴۴	0/۷۳۹	0/۸۲۳	0/۸۴۶	0/۸۰۰	0/۸۰۰	1									
G11	0/۸۶۷	0/۸۶۲	0/۷۶۰	0/۸۸۸	0/۸۰۷	0/۸۵۷	0/۸۳۸	0/۸۴۴	0/۸۰۶	0/۸۰۰	1								
G12	0/۸۰۷	0/۸۷۷	0/۸۱۶	0/۸۳۳	0/۷۴۵	0/۸۲۷	0/۹۰۹	0/۸۳۳	0/۸۴۲	0/۸۵۷	0/۸۰۰	1							
G13	0/۷۹۴	0/۸۶۶	0/۷۶۹	0/۸۲۶	0/۸۰۷	0/۹۴۶	0/۸۷۰	0/۷۸۲	0/۸۳۸	0/۸۵۷	0/۸۷۰	0/۸۴۲	1						
G14	0/۸۶۹	0/۹۲۰	0/۷۷۲	0/۸۶۹	0/۸۱۶	0/۸۵۱	0/۹۰۹	0/۸۲۶	0/۸۳۰	0/۹۰۱	0/۹۴۳	0/۸۸۰	0/۸۴۶	1					
G15	0/۷۰۵	0/۸۲۱	0/۶۸۵	0/۷۱۴	0/۸۰۰	0/۸۰۷	0/۸۵۱	0/۷۶۱	0/۸۲۱	0/۷۹۰	0/۷۷۸	0/۷۵۴	0/۸۵۷	0/۸۱۸	1				
G16	0/۸۲۱	0/۹۰۰	0/۷۹۲	0/۷۵۰	0/۸۱۳	0/۹۰۹	0/۹۰۶	0/۸۷۵	0/۸۵۷	0/۸۴۶	0/۸۷۵	0/۸۶۲	0/۸۷۵	0/۹۰۹	0/۷۷۷	1			
G17	0/۸۲۳	0/۸۲۱	0/۷۵۰	0/۸۰۹	0/۷۷۷	0/۸۰۲	0/۷۴۵	0/۹۰۴	0/۸۸۱	0/۷۳۹	0/۷۷۹	0/۷۱۶	0/۷۷۹	0/۷۳۴	0/۷۶۹	0/۸۵۲	1		
G18	0/۸۰۵	0/۹۴۳	0/۸۰۸	0/۸۵۷	0/۷۸۴	0/۹۲۸	0/۹۱۲	0/۸۵۷	0/۹۴۵	0/۸۶۷	0/۸۷۲	0/۹۲۳	0/۸۸۸	0/۹۲۲	0/۸۵۱	0/۹۴۷	0/۸۶۲	1	
G19	0/۸۵۷	0/۹۴۳	0/۸۰۸	0/۸۵۷	0/۸۰۷	0/۹۱۲	0/۹۳۱	0/۸۵۷	0/۹۲۸	0/۸۵۱	0/۸۹۲	0/۹۴۳	0/۸۷۲	0/۹۱۲	0/۸۵۱	0/۹۳۱	0/۸۴۶	0/۹۷۰	1

Factorial analysis: Axes 1 / 2



شکل ۳- بای پلات ژنتیپها برای نشانگر SCoT بر اساس محور مختصات اصلی اول و دوم

چندشکلی بالایی را نشان دادند، برای آنالیز مجموعه ژرم پلاسم دیگر ژنتیپهای پنیرک در تحقیقات بعدی استفاده گردد. نتایج حاصل از این بررسی با مطالعات دیگری که با استفاده از نشانگر مولکولی SCoT بر روی انبه *Boehmeria nivea* (رمی) و *Mangifera indica* (میابان) گردیده شbahت داشت (۱۴ و ۱۸). میانگین تشابه بین ژنتیپها برابر ۰/۸۲۰ بود که نشان‌دهنده وجود تنوع پایین در بین ژنتیپهای پنیرک بر اساس آغازگرهای مورد بررسی می‌باشد. این موضوع می‌تواند به سبب طول بلند آغازگرهای SCoT و تکثیر انتخابی تر این نشانگر باشد. با توجه به نتایج، هیبریداسیون بین ژنتیپها با فاصله ژنتیکی زیاد می‌تواند یک روش مناسب برای برنامه‌های اصلاحی در پنیرک باشد. از آنجایی که نشانگر مولکولی SCoT تنوع را براساس مناطق ژئی نشان می‌دهد (تکثیر نواحی با کدنون آغاز)، استفاده از نتایج این تحقیق برای تلاقی نمونه‌های با فواصل زیاد ژنتیکی در جهت هتروزیس به منظور اصلاح و افزایش ترکیبات می‌تواند بسیار مؤثر باشد. با توجه به تنوع ژنتیکی پایین درون ژنتیپهای پنیرک کشور، حفاظت در محل رویشگاه نمونه‌ها برای حفظ ذخایر ژنتیکی این گونه و ایجاد بانک ژرم پلاسم و استفاده از روشهای تکثیر مناسب این گیاه توصیه می‌شود. همچنین پیشنهاد می‌گردد از ژنتیپهایی مانند G15 و G3 که حداقل فاصله ژنتیکی بر اساس نشانگرهای مورد استفاده داشتند در جهت استفاده از حداقل هتروزیس در برنامه‌های اصلاحی استفاده شود. فرشادر و همکاران (۳) در مطالعه تنوع ژنتیکی توده‌هایی از رازیانه با استفاده از نشانگرهای ریخت شناختی و مولکولی SCoT بر اساس نتایج حاصل از ماتریس تشابه نشانگر مولکولی گزارش کردند که تنوع قابل قبول در بین توده‌های رازیانه بر اساس آغازگرهای مورد استفاده وجود دارد و پیشنهاد کردند از توده‌هایی که حداقل فاصله ژنتیکی بر اساس نشانگرهای مورد استفاده را داشتند در جهت استفاده از حداقل هتروزیس در برنامه‌های اصلاحی استفاده شود. بر اساس تجزیه خوشای ژنتیپها در ۳ گروه

تجزیه به مخصوصات اصلی (PCo): بر اساس داده‌های حاصل از آغازگرهای مورد بررسی تجزیه به مخصوصات اصلی برای ژنتیپها انجام شد، نتایج نشان داد محور مخصوصات اول و دوم به ترتیب ۲۱/۲۳ و ۱۷/۱۵ درصد از واریانس موجود را توضیح دادند و در مجموع ۳۸/۳۸ درصد از واریانس با این دو محور بیان گردید. بر اساس مخصوصات اول و دوم دیاگرام پراکنشی ژنتیپها رسم گردید (شکل ۳)، که این دیاگرام با نتایج تجزیه خوشای مطابقت نداشت.

بحث و نتیجه‌گیری

با استفاده از آغازگرهای SCoT همان طور که مشاهده گردید تنوع قابل ملاحظه‌ای در بین ژنتیپهای پنیرک وجود داشت و چند شکلی مطلوبی بر اساس نشانگر SCoT در بین ژنتیپها مشاهده شد. در بررسی Shabanian و همکاران (۲۰) که بر روی جمعیتهای بلوط ایرانی با استفاده از ۱۰ آغازگر SCoT انجام گردید گزارش شد که این آغازگرها تنوع ژنتیکی بالایی را آشکار کردند. از نشانگر مولکولی SCoT در بررسی تنوع ژنتیکی گیاهان دارویی مانند جاتروفا (*Jatropha curcas*) و کاکوتی (*Ziziphora tenuior*) استفاده شده است که در مقایسه با نشانگرهای ISSR و RAPD تنوع بیشتری را نشان داده است (۱۶ و ۲۴). در مطالعه‌ای که توسط Hasani و همکاران (۸) به منظور بررسی تنوع ژنتیکی در گیاه دارویی رازیانه با استفاده از نشانگر مولکولی انجام شد، نتایج به دست آمده نشان دادند که نشانگرهای مولکولی دارای توانایی بالایی در بررسی تنوع ژنتیکی می‌باشند. محتوای اطلاعات چند شکلی (PIC) در نشانگرهای غالب از صفر تا نیم متغیر است و هرچه این عدد بزرگتر باشد بیانگر فراوانی بیشتر چند شکلی برای آن جایگاه در ژنتیپهای تحت بررسی می‌باشد با توجه به نتایج به دست آمده پیشنهاد می‌گردد از آغازگرهای SC36 و SC11 که شاخص محتوای اطلاعات چند شکلی (PIC) درصد

تشابه جاکارد و روش اتصال کامل و قطع دندروگرام ارقام و لاینهای گندم را در ۷ گروه قرار دادند، همچنین تجزیه هماهنگ اصلی نیز توانست ژنتیکی‌های گندم مورد مطالعه را به خوبی بر اساس فاصله فضائی گروه‌بندی کند. نتایج حاصل از تجزیه واریانس مولکولی گروه‌بندی تجزیه خوش‌ای خوش‌های را تأیید نمود به نحوی که بر اساس آماره PhiPT در بین گروهها در سطح ۵ درصد اختلاف معنی‌دار وجود داشت به عبارت دیگر گروه‌بندی به صورت صحیح انجام گرفته است. از کاربردهای تجزیه واریانس مولکولی می‌توان در تعیین تفاوت ژنتیکی بین جمعیتها و تعیین حد مطلوب خوش در تجزیه خوش‌ای اشاره کرد، به این صورت که در هر گروه در نقطه برش دندروگرام به عنوان یک جمعیت و ژنتیکی‌ها درون آن به عنوان افراد جمعیت در نظر گفته می‌شود و برای هر نقطه برش یک تجزیه واریانس انجام گیرد. نقطه‌ای که بیشترین تمایز بین گروهها به وجود آید، به عنوان نقطه مناسب برش دندروگرام انتخاب خواهد شد. زمانی و همکاران (۲) در ارزیابی تنوع ژنتیکی برخی از جمعیتها گیاه خارمریم با استفاده از نشانگر مولکولی SCoT گزارش کردند که سطح بیشتری از تنوع به درون جمعیتها (۸۹ درصد) تعلق داشت، در حالی که تنها ۱۱ درصد تنوع در بین جمعیتها مشاهده شد. در نهایت نتایج نشان‌دهنده تنوع زیاد در بین ژنتیکی‌های مورد مطالعه با استفاده از نشانگر SCoT بود.

قرار گرفتن از روش UPGMA بر اساس ضریب تشابه جاکارد برای گروه‌بندی توده‌ها استفاده گردید چون این ضریب نسبت به ضریبهای تطابق ساده و دایس ضریب کوفتیک (۸۶ درصد) بالاتری داشت. نتایج حاصل از تجزیه به مختصات اصلی با نتایج تجزیه خوش‌ای مطابقت نداشت و تنها ۳۸/۳۸ درصد از واریانس با دو محور بیان گردید، این موضوع به نوبه خود می‌تواند نشان دهنده پراکنش گسترده آغازگرهای مختلف بر روی سطح زنوم و همه کروموزومهای پنیرک باشد. همچنین نتایج نشان داد که تنوع ژنتیکی با تنوع جغرافیایی تطبیق ندارد که ممکن است علت این موضوع جدایی منشاء جغرافیایی ژنتیکی‌ها یا ایجاد و تجمع جهش‌های ژنتیکی مجرما در سطح زنوم باشد که باعث ایجاد تنوع در آنها نسبت به یکدیگر شده است. در حالی که در تعداد دیگری از ژنتیکی‌ها چنین تطابقی دیده نشده که این امر می‌تواند به دلیل منشاء مشترک، مهاجرت و انتقال باشد. نیک کردار و همکاران (۱۷) در بررسی تنوع ژنتیکی توده‌های ایرانی رازیانه با استفاده از نشانگر مولکولی SCoT از روش UPGMA بر اساس ضریب تشابه جاکارد برای گروه‌بندی توده‌ها استفاده کردند و گزارش نمودند که این ضریب نسبت به ضریبهای تطابق ساده و دایس ضریب کوفتیک (۹۱ درصد) بالاتری دارد. اسماعیلی و همکاران (۱) با استفاده از نشانگرهای مولکولی نیمه تصادفی اقدام به گروه‌بندی گندم دیم نمودند که در تجزیه خوش‌ای ضرایب

منابع

- اسماعیلی، ا.، نظریان فیروزآبادی، ف.، سمیعی، ک.، دریکوند، ر.، انتشار آنلاین از تاریخ ۲۳ خرداد ۱۳۹۶. بررسی تنوع ژنتیکی ژنتیکی‌های گندم دیم با استفاده از آغازگرهای نیمه تصادفی ایترونی-اگزونی. مجله پژوهش‌های سلولی مولکولی (مجله زیست‌شناسی ایران). ۳۰(۲): ۱۱۷-۱۲۶.
- زمانی، ن.، میرزاپی، خ.، زمانی، خ.، ارزیابی تنوع ژنتیکی برخی از جمعیتها گیاه خارمریم با استفاده از نشانگر مولکولی.
- Azimova, S.S., Glushenkova A.I. (Eds.), (2012). Oils from Plant Sources. Springer, Tashkent, Republic of Uzbekistan, 609-633.
- فرشادفر، م.، مرادزاده، ن.، فرشادفر، ع.، شیروانی، م.، ۱۳۹۶. بررسی تنوع ژنتیکی اکسشن‌هایی از رازیانه (*Foeniculum vulgare*) براساس صفات ریخت‌شناختی و نشانگر مولکولی (Mill SCoT) تحقیقات ژنتیک و اصلاح گیاهان مرتعی و جنگلی ایران. ۲۵(۲): ۲۱۲-۲۳۱.
- Azimova, S.S., Glushenkova A.I. (Eds.), (2012). Oils from Plant Sources. Springer, Tashkent, Republic of Uzbekistan, 609-633.

- 5- Collard, B.C.Y., Mackill, D.J. (2009). Start codon targeted (SCoT) polymorphism: a simple, novel DNA marker technique for generating gene-targeted markers in plants. *Plant Molecular Biology Reporter*, 27:86–93.
- 6- Davis, TM., Haigis, YUH., Mc Gowan, PJ. (1995). Template mixing: a method of enhancing detection and interpretation of codominant RAPD markers. *Theoretical and Applied Genetics* 91: 582-8.
- 7- Gepts, P., Papa, R. (2003). possible effects of (Trans) gene flow from crops on the genetic diversity from landraces and wild relatives. *Environmental Biosafety Research* 2: 89-103.
- 8- Hasani, M.H., Torabi S., Omidi, M., Etmianan, A.R., Dastmalchi T. (2011). The study of genetic variation *Foeniculum vulgar Mill.* Using AFLP molecular marker. *Iranian Journal of Field Crop Science*, 42(3):597-604 (In Persian).
- 9- Hosseinzadeh Colagar, A., Saadati, M., Zarea, M., Ahmadi Talei S.. (2010). "Genetic variation of the iranian Sclerotinia sclerotiorum isolates by standardizing DNA polymorphic fragments". *Biotechnology (-Pakistan)*. 9(1): 67-72.
- 10- Hou, Y., Yan, Z., Wei, Y. (2005). Genetic diversity in barely from west China based on RAPD and ISSR analysis Barely. *Genetics Newsletter* 35:9-22.
- 11- Hu, J., Vick, BA. 2003. Target region amplification polymorphism: a novel marker technique for plant genotyping. *Plant Molecular Biology Reporter* 21: 289-94.
- 12- Kalendar, R. (2007). FastPCR: a PCR primer design and repeat sequence searching software with additional tools for the manipulation and analysis of DNA and protein. Available at www.biocenter.helsinki.fi/programs/fastpcr.htm; 2007
- 13- Kochaki. A., Nasiri, M., Najafi, F. (2004). The agro biodiversity of medical and aromatic plants in Iran. 2(2): 209-214.
- 14- Luo, C., He, X. H., Chen, H., Hu, Y., Ou, S.-J. (2012). Genetic relationship and diversity of *Mangifera indica* L.: revealed through SCoT analysis. *Genetic Resources and Crop Evolution*, 59:1505-1515.
- 15- Michaud, R., Tremblay, GF., Belanger, G., Michaud, J. (1991). Agriculture and Agri-Food Canada, Soils and Crops Research and Development Center, 2560 Hochelaga blvd, Sainte-Foy, Quebec, Canada, G1V 213.
- 16- Mulpuri, S., Muddanuru, T., Francis, G. (2013). Start codon targeted (SCoT) polymorphism in toxic and non-toxic accessions of *Jatropha curcas* L. and development of a codominant SCAR marker. *Plant Science*, 207:117-127.
- 17- Nikkerdar, F., Farshadfar, M., Ebrahimi, M A., and Shirvani H. (2018) Genetic Diversity among Fennel (*Foeniculum Vulgare* Mill.) Landrace using SCoT Markers. *jcb*. 9 (24) :95-102.
- 18- Pratik, S., Maya, K., Sourav, J., Sabyasachi, M., Amit, S., Karmakar, P.G., Ray, D.P. (2015). Start codon targeted (SCoT) polymorphism reveals genetic diversity in wild and domesticated populations of ramie (*Boehmeria nivea* L. Gaudich.), a premium textile fiber producing species. *Meta Gene*, 3:62-70.
- 19- Samavati, V., Manoochehrizade, A. (2013), Polysaccharide extraction from *Malva sylvestris* and its anti -oxidant activity. *International Journal of Biological Macromolecules* 60, 427–436.
- 20- Shabanian, N., Alikhani, L. and Rahmani, M.S. (2015). Phenotypic and genotypic diversity in raint oak (*Quercus brantii*) populations of declining north-Zagros forests using biochemical characteristics and molecular SCoT marker. *Iranian Journal of Rangelands and Forests Plant Breeding and Genetic Research*, 23(1): 23-29. (In Persian)
- 21- Shahoedi, A. (2005). Medicinal Plants Eastern Iran's Zagros. Farabi Publications. Pp117 (In Persian).
- 22- Shale, TL., Stirk, WA., van Staden, J. (2005). Variation in antibacterial and anti .inflammatory activity of different growth forms of *Malva parviflora* and.evidence for synergism of the anti-inflammatory compounds. *J Ethnopharmacol.*:96(1-2):325-30 (Persian).
- 23- Zahid, N. Y., Abbasi, N. A., Hafiz, I. A., Ahmad, Z. (2009) Genetic diversity of indigenous fennel, (*Foeniculum vulgare*. Germplasm in Pakistan assessed By RAPD markers. *Pakistan Journal of Botany* 41(4): 1759-1767.
- 24- Zamani, N., Zamani, W., Mirzaei, K. (2016). Genetic diversity analysis of *Ziziphora tenuior* L. using SCoT markers. *Iranian Journal of Rangelands and Forests Plant Breeding and Genetic Research*, 24 (2): 176-189. (In Persian).

Genetic variation among Iranian genotypes of *Malva* (*Malva neglecta*) using Start codon targeted (SCoT)

Noorian A.M.¹ and Shirvani H.²

¹Dept. of Biology, Payame Noor University, Tehran, I.R. of Iran

²Dept. of Agriculture, Payame Noor University, Tehran, I.R. of Iran

Abstract

Malva is one of the well-known medicinal and aromatic plants. The juice is one of the oldest herbs that are widely used in medicine. DNA extraction was carried out using CTAB method for 19 genotypes of different regions of Iran. Using SCoT molecular markers, genetic diversity was investigated. The SCoT marker showed favorable polymorphism among genotypes and most primers were suitable for this species. SCoT primers were able to produce 83 strips in total, with 76 multidimensional bands. The average number of bars produced by each primer for 19 genotypes was 4.36, with SC36, SC11 and SC5 primers having the highest number of bands (8), and the SC26 and SC15 primers showed the least number of bands (3). The results showed that the most similarities were genotypes G18 and G19 and the least similarity was genotypes G15 with G3 genotype. The cluster analysis showed that the genotypes were classified into three groups and genetic variation was not consistent with geographical variation. The results of cluster analysis were grouped using molecular variance analysis (AMOVA).

Key words: aromatic plants, cluster analysis, coordinate analysis, Genetic variation